

## 1. はじめに

構造部材は一般に製作、運搬、架設の段階で弾性限度をこえた荷重により、塑性変形を受けたことが考えられる。一度塑性変形をうけた部材の強度を知ることは重要であり、本研究では梁の両端に弾性限度をこえた、等しく逆向きの曲げモーメント変形した梁の横座屈強度の検討を行った。

弾性限度をこえた矩形ばかりおよび工形ばかりの横座屈強度については最初 Neal および Hormel によて論じられた。<sup>1)</sup> その後、Galambos<sup>2)</sup> は H 形梁の非弾性横座屈強度に、形鋼の有する残留応力の影響を考慮して、座屈強度が弾性限界近くで大いに減少することと指摘した。しかし、これらの論文に云ひては、梁は最初直立であり鉛直たゆみは小さいとしている。鉛直たゆみの影響を考慮したものに Clark and Knoll<sup>3)</sup> の研究がある。この論文では矩形梁の横座屈強度について計算結果を示し、たゆみを考慮することによりゆがみに座屈強度が増加することを指摘している。H 形断面の梁にたいしては、理論解のみ示されていない。

本研究では、まずウェブ面内に弾性限度をこえた曲げモーメントを受けるうち、逆向きの曲げモーメントを受ける H 形断面の曲げモーメント - 曲率関係を導き、一度永久変形をうけた梁の曲げモーメントによる横座屈強度と、鉛直たゆみの影響を無視した場合と考慮した場合について計算し比較を行った。

## 2. 用いた仮定

本研究においては次の仮定を用いた。

1) 梁の両支点間に外力は作用しない。

2) 梁・横断面形状は座屈直前まで原形を有するものとする。(局部座屈はおこらないものとする。)

3) 梁端は単純支持されているものとする。すなわち、ねじりは拘束されないが曲げねじりは拘束されるものとする。

4) 梁の永久変形は弾性限度をこえた等曲げモーメントが両端に逆向きに作用して生じたものとする。また、曲げモーメントの作用時には何らかの拘束で横座屈が生じたものとする。

5) 作用曲げモーメントは永久変形が生じたときとは逆向きの等モーメントが両梁端に作用するものとする。

6) 梁は矩形断面までは H 形断面とし、曲げ剛性は弾性領域のみが有効とする Tangent Modulus Theory によるものとし、ねじり剛性は全断面を有効とする塑性流れ理論によるものとする。

7) 鋼材のたわみ - ひずみ曲線は図-1 に示す理想弾塑性体とする。

## 3. 曲げモーメント - 曲率関係

断面がこえた曲げモーメントを受ける時、その曲げモーメントが弾性限度内の曲げモーメントであれば、逆向きの曲げモーメントが作用しても同じ曲げモーメント - 曲率経路をたどって除荷される。しかし、最初に作用したモーメントが弾性限度をこえた時は、もはや同じ経路をたどるには除荷され

す、除荷の曲げモーメント、すなはち 最初に作用したモーメントとは逆方向の曲げモーメントが弹性限度の曲げモーメントの2倍より小さく範囲では弾性的な除荷され、それ以後は小さく非弹性挙動を示す。弹性限度をこえ曲げモーメントを受ける断面の除荷に対する曲げモーメント-曲率関係は矩形断面およびH形断面に対する以下のように示された。

#### 4) 1) 矩形断面

##### (i) 載荷

$$\frac{M}{M_y} = \frac{\phi}{\phi_y} \quad \frac{\phi}{\phi_y} \leq 1.0$$

$$\frac{M}{M_y} = \frac{3}{2} \left\{ 1 - \frac{1}{3(\frac{\phi}{\phi_y})^2} \right\} \quad 1.0 \leq \frac{\phi}{\phi_y}$$

##### (ii) 除荷

$$\frac{M}{M_y} = \frac{3}{2} \left\{ 1 - \frac{1}{3(\frac{\phi}{\phi_y})^2} \right\} + \left( \frac{\phi}{\phi_y} \right) - \left( \frac{\phi_0}{\phi_y} \right)$$

$$\frac{\phi_0}{\phi_y} - 2 \leq \frac{\phi}{\phi_y} \leq \frac{\phi_0}{\phi_y}$$

$$\frac{M}{M_y} = -\frac{3}{2} \left\{ 1 + \frac{1}{3(\frac{\phi}{\phi_y})} \right\} + \frac{4}{\left\{ \left( \frac{\phi}{\phi_y} \right) - \left( \frac{\phi_0}{\phi_y} \right) \right\}^2}$$

$$\frac{M}{M_y} = -\frac{3}{2} \left\{ 1 - \frac{1}{3(\frac{\phi}{\phi_y})^2} \right\}$$

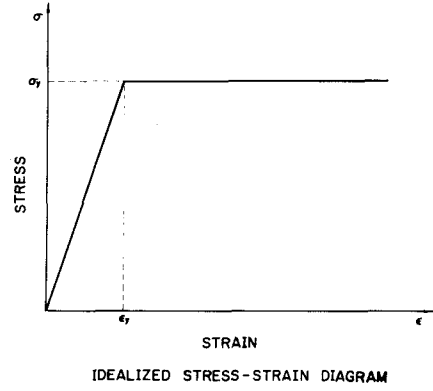


図-1

#### 2) H形断面

##### (i) 載荷

$$\frac{M}{M_y} = \frac{\phi}{\phi_y} \quad \frac{\phi}{\phi_y} \leq 1.0$$

$$\frac{M}{M_y} = \frac{bd^2}{4S} \left\{ 1 - \frac{1}{3(\frac{\phi}{\phi_y})^2} \right\} + \frac{\phi}{\phi_y} \left( 1 - \frac{bd^2}{6S} \right) \quad 1.0 \leq \frac{\phi}{\phi_y} \leq \frac{d}{d-2t}$$

$$\frac{M}{M_y} = \frac{x}{S} - \frac{w^2 d^2}{12 S (\frac{\phi}{\phi_y})^2} \quad \frac{d}{d-2t} \leq \frac{\phi}{\phi_y}$$

##### (ii) 除荷

$$\frac{M}{M_y} = \frac{M_o}{M_y} - \left( \frac{\phi_0}{\phi_y} \right) + \left( \frac{\phi}{\phi_y} \right) \quad \frac{\phi_0}{\phi_y} - 2.0 \leq \frac{\phi}{\phi_y} \leq \frac{\phi_0}{\phi_y}$$

$$\frac{M}{M_y} = \frac{M_o}{M_y} - \frac{2bd^2}{S} \left\{ \left( \frac{\phi_0}{\phi_y} \right) - \left( \frac{\phi}{\phi_y} \right) - 1.0 \right\} \left\{ \left( 1.0 - \frac{t}{d} \right) \left( \frac{1}{2} - \frac{3}{6} - \frac{4}{6} \frac{\frac{t}{d}}{6} \frac{t}{d} \right) \frac{t}{d} + \frac{w^2}{2b} \left( \frac{1}{2} - \frac{t}{d} \right) \right.$$

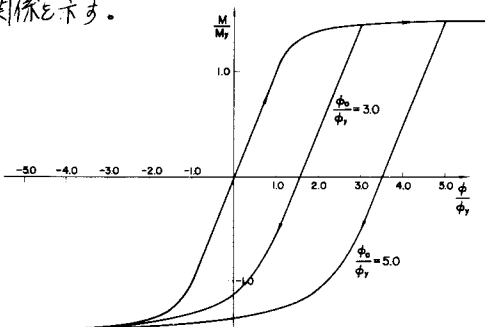
$$\left. + \frac{bd^2}{4S \left\{ \left( \frac{\phi}{\phi_y} \right) - \left( \frac{\phi_0}{\phi_y} \right) \right\}^2} \left[ 4.0 + 2.0 \left\{ \left( \frac{\phi}{\phi_y} \right) - \left( \frac{\phi_0}{\phi_y} \right) \right\} - \left\{ \left( \frac{\phi}{\phi_y} \right) - \left( \frac{\phi_0}{\phi_y} \right) \right\}^2 - \frac{1}{2} \left\{ \left( \frac{\phi}{\phi_y} \right) - \left( \frac{\phi_0}{\phi_y} \right) \right\}^3 \right] - 1.0 \right\}$$

$$\frac{\phi_0}{\phi_y} - \frac{2d}{d-2t} \leq \frac{\phi}{\phi_y} \leq \frac{\phi_0}{\phi_y} - 2.0$$

$$\begin{aligned}
\frac{M}{M_y} = \frac{M_o}{M_y} - \frac{2bd^2}{S} \left\{ \left( \frac{\phi}{\phi_y} \right) - \left( \frac{\phi}{\phi_y} \right) - 1.0 \right\} \left\{ (1.0 - \frac{t}{d}) \left( \frac{1}{2} - \frac{3 - 4\frac{t}{d}}{6 - 6\frac{t}{d}} \frac{t}{d} \right) \frac{t}{d} + \frac{z}{3} \frac{w}{b} \left( \frac{1}{2} - \frac{t}{d} \right) \right\} \\
+ \frac{2bd^2}{S} \left[ \left( \frac{\phi}{\phi_y} \right) - \left( \frac{\phi}{\phi_y} \right) \right] \left( 1 - \frac{t}{d} \right) - 2.0 \left[ \frac{1}{2} - \frac{\left( \frac{\phi}{\phi_y} \right) - \left( \frac{\phi}{\phi_y} \right)}{6 \left[ \left( \frac{\phi}{\phi_y} \right) - \left( \frac{\phi}{\phi_y} \right) \right] \left( 1 - \frac{t}{d} \right) - 2} \frac{t}{d} \right] \frac{t}{d} \\
+ \frac{bd^2}{8S \left\{ \left( \frac{\phi}{\phi_y} \right) - \left( \frac{\phi}{\phi_y} \right) \right\}^2} \frac{w}{b} \left[ \left( \frac{\phi}{\phi_y} \right) - \left( \frac{\phi}{\phi_y} \right) \right] \left( 1 - 2\frac{t}{d} \right) - 2.0 \left[ \left( \frac{\phi}{\phi_y} \right) - \left( \frac{\phi}{\phi_y} \right) \right] \left( 1 - 2\frac{t}{d} \right) + 2.0 \right] - 1.0 \\
- \frac{\phi_o}{\phi_y} \leq \frac{\phi}{\phi_y} \leq \frac{\phi_o}{\phi_y} - \frac{2d}{d - 2t}
\end{aligned}$$

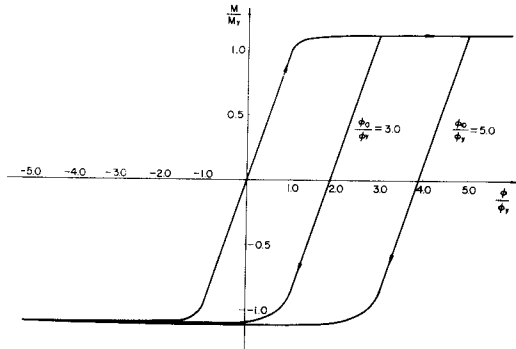
ここに、 $M$ は作用曲げモーメント、 $M_o$ は最初に作用した曲げモーメント、 $\phi$ は曲げモーメント $M$ に対する曲率、 $\phi_o$ は曲げモーメント $M_o$ に対する曲率、 $M_y$ は降伏モーメント、 $\phi_y$ は降伏曲率、 $d$ 、 $b$ 、 $w$ 、 $t$ はそれぞれH形断面の高さ、フランジ幅、ウェブ厚さおよびフランジ厚さである。

図-2および図-3は矩形断面およびH形断面の $\frac{\phi_o}{\phi_y} = 3.0$ 、 $5.0$ に対する曲げモーメント-曲率関係を示す。



MOMENT-CURVATURE CURVES FOR RECTANGULAR SECTION

図-2



MOMENT-CURVATURE CURVES FOR H-SECTION

図-3

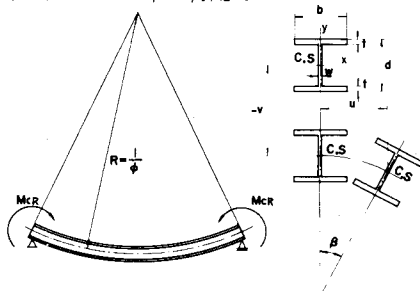
### 3. 横座屈強度

図-4のように座屈後の微小変位に対するつり合ひの微分方程式は曲率を考慮するヒビ式上工式とある。

$$\beta M_o = EI_y \left( \frac{\beta}{R} - \frac{d^2 u}{dz^2} \right)$$

$$M_o = EI_x \left( \frac{v}{R^2} + \frac{d^2 v}{dz^2} \right)$$

$$M_o \frac{du}{dz} + C_w \frac{dv}{dz} = C \left( \frac{d^3}{dz^3} + \frac{1}{R} \frac{du}{dz} \right)$$



ここに、 $M_o$ は作用モーメント、 $I_x$ 、 $I_y$ は $x$ 軸、 $y$ 軸に関する断面2次モーメント、 $u$ 、 $v$ は $x$ 、 $y$ 方向の変位

$3$ は断面の回転角、 $1/R$ は梁の曲率、 $C = G I_T$ 、 $C_w$ は断面のねじれ剛性および曲げねじれ剛性である。

3. 仮定の境界条件と座屈モーメントを求めると

$$\left( \frac{M_o}{M_y} \right)_{cr} = \frac{K_1 E I_y + C \left( \frac{\phi}{\phi_y} \right)}{2 E I_x} + \sqrt{\left( \frac{K_1 E I_y - C}{2 E I_x} \right) \left( \frac{\phi}{\phi_y} \right)^2 + \frac{K_1 K_2 \pi^2 D_I G}{4 E \epsilon_y (\ell / r_g)^4} \left( \frac{d}{r_g} \right)^4 \left( \pi^2 \frac{C_w}{r_g^2 C} + \left( \frac{\ell}{r_g} \right)^2 \right)}$$

POSITION OF CROSS SECTION

図-4

ここで、 $D_f = K_f / Ad^2$   $A$ は断面積、 $K_f$ 、 $\phi_y$ は $x$ 軸、 $y$ 軸に関する断面2次半径、 $\epsilon_y$ は降伏ひずみであり、 $K_1, K_2$ は断面係数に発生する塑性領域による軸まわりの弾性剛性および曲げ剛性の減少率であり、次式で示される。

$$K_1 = K_2 = 1.0$$

弾性範囲係数

$$K_1 = \frac{1}{t} \left\{ t - \frac{d}{2} + \frac{d}{\left( \frac{\phi_0}{\phi_y} \right) - \left( \frac{\phi}{\phi_y} \right)} \right\}$$

弾塑性域係数

$$K_2 = \frac{K_1}{(d-t)^2} \left\{ \frac{d}{2} - t + \frac{d}{\left( \frac{\phi_0}{\phi_y} \right) - \left( \frac{\phi}{\phi_y} \right)} \right\}^2$$

上式に $t, C_w = 0$ とおけば矩形断面に対する式となり、 $\phi/\phi_y = 0$ とおけば曲率が正からたわみの影響を無視してもよいとなる。曲率モード-曲率関係式と上式を連立して解いて座屈曲モード-曲率を計算することができる。図-5は断面の高さ $d$ 中の10倍の矩形断面について、 $\phi/\phi_y = 0$ 、3.0および5.0に対して計算結果を示したものである。矩形断面に対する Clark and Knoll の指標によるとたわみの影響は無視出来ない。

しかし、 $\phi/\phi_y = 5.0$ の場合には $\phi/\phi_y = 0$ に比較して、約最高9%強度が減少する。

H形断面上に対する計算結果は且下検討中である。講演当日発表予定である。

尚、本研究にあたり、御指導、御助言下さった名古屋大学橋本助教授に心から感謝いたします。

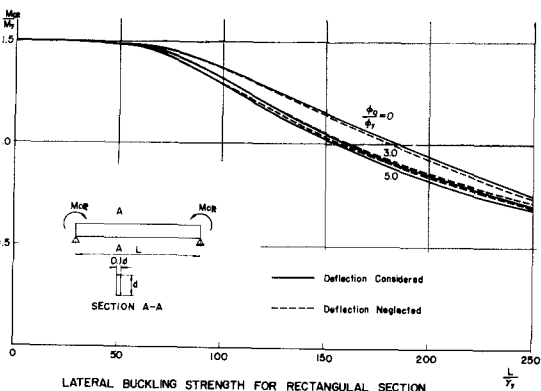


図-5

#### 4. 参考文献

- 1) Baker, J., Horne, M.R. and Heyman, J.: "The steel skeleton" Cambridge University Press, 1965
- 2) Galambos, T. V.: "Inelastic Lateral Buckling of Beams" Proceedings of ASCE, ST5, October, 1963
- 3) Clark, J.W. and Knoll, A.H.: "Effect of Deflection on Lateral Buckling Strength" Proceedings of ASCE, EM2, April, 1958
- 4) Hodge, P.G.: "Plastic Analysis of structures" McGraw-Hill, New York, 1959
- 5) 木原博: "塑性設計法" 森北出版 昭和35年
- 6) Timoshenko, G. S. and Gere, J. M.: "Theory of Elastic stability" McGraw-Hill New York, 1961
- 7) Galambos, T. V.: "Structural Member and Frames" Prentice Hall, 1968